

مجله علوم و صنایع غذایی ایران

سایت مجله: www.fsct.modares.ac.ir

مقاله علمی_پژوهشی

نانو ریزپوشانی فیکوسیانین استخراج شده از جلبک اسپیرولینا (*Spirulina platensis*) و استفاده از نانوذرات حاصل در فرمولاسیون بستنی

رضا صفری^{۱*}، زینب رفتنی امیری^۲، سهیل ریحانی پول^۳، هادی غفاری^۴

۱- استادیار، پژوهشکده اکولوژی دریای خزر، موسسه تحقیقات علوم شیلاتی کشور، سازمان تحقیقات، آموزش و ترویج کشاورزی، ساری، ایران.

۲- استاد، گروه مهندسی علوم و صنایع غذایی، دانشکده مهندسی زراعی، دانشگاه علوم کشاورزی و منابع طبیعی ساری، ساری، ایران.

۳- دانش آموخته دکتری تخصصی، گروه فراوری محصولات شیلاتی، دانشکده شیلات و محیط زیست، دانشگاه علوم کشاورزی و منابع طبیعی گرگان، گرگان، ایران.

۴- استادیار، موسسه تحقیقات علوم شیلاتی کشور، سازمان تحقیقات، آموزش و ترویج کشاورزی، تهران، ایران.

اطلاعات مقاله

چکیده

تاریخ های مقاله :

تاریخ دریافت: ۱۴۰۰/۰۹/۱۸

تاریخ پذیرش: ۱۴۰۰/۱۰/۲۵

با توجه به نگرانی‌هایی که در زمینه استفاده از رنگ‌های مصنوعی در مواد غذایی مختلف وجود دارد، توجه به منابع دارای رنگ‌های طبیعی ضرورت می‌یابد. یکی از این منابع، جلبک اسپیرولینا است که محتوی رنگدانه آبی فیکوسیانین است. هدف از تحقیق حاضر در مرحله اول استخراج این رنگدانه از جلبک مذکور به روش آنزیمی (لیزوزیم) و نانو ریزپوشانی آن بود. در مرحله دوم خصوصیات فیزیکوشیمیابی نانوذرات بررسی شدند. نهایتاً فیکوسیانین در دو فرم آزاد و نانو به فرمولاسیون بستنی اضافه و خواص کیفی و حسی محصول در مقایسه با شاهد ارزیابی گردید. نتایج نشان داد نانو ذرات تولید شده دارای میانگین سایز ۳۹۷/۱ نانومتر هستند. بازده فرایند ریزپوشانی $23/41 \pm 2/11$ درصد ثبت شد. مطابق تصاویر ثبت شده با استفاده از میکروسکوپ الکترونی روبشی، ذرات نانو ریزپوشانی شده با ابعاد مختلف در گسترش میکروسکوپی پراکنده بودند؛ به طوری که ذرات در اندازه‌های مختلف (از قطر ۵۱/۴ تا ۲۲۱/۲ نانومتر) قابل مشاهده می‌باشند. نتایج رهایش نانوذرات در شرایط آزمایشگاهی نشان داد، در $pH=1/2$ ، درصد رهایش فیکوسیانین پائین است (۲ ساعت اول)؛ به طوری که در محدوده ۷ تا ۱۳ درصد نوسان دارد. اما بعد از این مرحله ($pH=7/4$)، درصد رهایش به طور قابل ملاحظه‌ای افزایش داشت (۴ ساعت دوم) و در زمان‌های ۳ و ۴ ساعت به ترتیب از ۳۵ به ۷۱ درصد رسید. استفاده از فیکوسیانین خالص در فرمولاسیون بستنی، باعث بهبود شاخص‌های سفتی، درصد ذوب، بافت، شدت صمغیت، شدت کریستالی و شدت سردی شد؛ اما این شاخص‌ها در تیمار فرموله شده با فیکوسیانین نانو ریزپوشانی شده در سطح مطلوب‌تری گزارش شدند. شاخص رنگ در بستنی فرموله شده با فیکوسیانین خالص در مقایسه با تیمار دارای فیکوسیانین نانو ریزپوشانی شده مطلوب‌تر و از مقبولیت بیشتری برخوردار بود. با توجه به ویژگی‌های فیکوسیانین به ویژه فرم نانو ریزپوشانی شده، می‌توان از آن به عنوان رنگ بیولوژیک و بهبوددهنده خواص کیفی و حسی در انواع بستنی استفاده کرد.

کلمات کلیدی:

اسپیرولینا،

فیکوسیانین،

نانو ریزپوشانی،

بستنی،

خواص کیفی و حسی.

DOI: 10.52547/fsct.19.123.145

DOR: 20.1001.1.20088787.1401.19.123.24.9

* مسئول مکاتبات:

Safari1351@gmail.com

نوشیدنی‌ها، انواع غذاها و شیرینی‌جات را محدود کرده‌اند. به همین دلیل توجه به رنگ‌های طبیعی جزء اولویت‌های اصلی محققین بوده است. در بین رنگ‌های طبیعی، رنگ آبی در صنعت نوشیدنی و شیرینی‌جات کاربرد گسترده‌ای دارد و لی به دلیل پایداری پائین رنگ‌های مذکور، کماکان از رنگ‌های مصنوعی استفاده می‌گردد. سیانوباکتر اسپیروولینا پلاتنسیس علاوه بر کاربرد در صنایع غذایی، به عنوان تولیدکننده رنگدانه آبی نیز حائز اهمیت است و رنگ آبی مذکور ناشی از وجود فیکوسیانین می‌باشد. علت علاقه به استفاده تجاری از فیکوسیانین، ماهیت پروتئینی و روش‌های آسان استخراج آن می‌باشد. به همین دلیل استفاده از فیکوسیانین جهت افزایش امنیت غذایی همیشه مدنظر می‌باشد. علاوه بر این، فیکوسیانین بدلیل ویژگی آنتی‌اکسیدانی بالا، قابلیت استفاده بعنوان آنتی‌اکسیدان طبیعی در انواع غذاهای چرب از جمله روغن و ماهی را داشته و فساد شیمیایی ناشی از افزایش عدد پراکسید، تیوباریتوريک اسید و اسیدهای چرب آزاد را به تاخیر انداخته و از این طریق زمان ماندگاری مواد غذایی را افزایش می‌دهد.^[۷]

مطالعه در خصوص مقایسه رنگ‌های آبی شیمیایی و فیکوسیانین از نظر حساسیت به نور و دما و همچنین استفاده از آن‌ها در انواع مواد غذایی نظیر آبنبات ژله‌ای، به عنوان پوشش شکلات‌های نرم و سفت و نوشیدنی‌های ساده نشان داده که فیکوسیانین هر چند در محیط محلول آزمایشگاهی از پایداری کمتری در برابر نور و دما نسبت به رنگ‌های آبی متداول نظیر ایندیگو^۱ و گاردنیا^۲ برخوردار است اما به هنگام استفاده در مواد غذایی مذکور از پذیرش بیشتری خصوصاً در مورد آبنبات ژله‌ای و پوشش شکلات نرم برخوردار می‌باشد. فیکوسیانین به هنگام قرارگرفتن در محلول آزمایشگاهی، پایداری بسیار پائینی در برابر نور و دما نشان می‌دهد. از طرف دیگر این رنگدانه در pH=۳ رسوب کرده و در دمای بالاتر از ۴۵ درجه و pH=۵ و ۷، به سرعت دناتوره شده و رنگ آن تغییر می‌کند.^[۸] ریزپوشانی، یکی از روش‌های موثر به منظور محافظت از انواع مواد موثره، نظیر اسانس‌ها، پیتیدهای زیست‌فعال، انواع آروما و طعم‌ها و همچنین رنگدانه‌های طبیعی می‌باشد. این فرآیند باعث : ۱) افزایش دوام و بقاء، عدم تاثیر فاکتورهای محیطی

۱- مقدمه

از مهم‌ترین فاکتورهای اصلی جهت ارزیابی کیفیت ماده غذایی می‌توان به رنگ، بو و طعم اشاره نمود. در این بین پارامتر رنگ مهم‌ترین عامل اصلی جهت پذیرش محصول توسط مشتری محسوب می‌گردد. در برخی از مواد غذایی از جمله نوشیدنی‌ها، انواع بستنی‌ها، ژله‌ها، شکلات‌ها و محصولات لبنی، فاکتور رنگ از اهمیت خاصی برخوردار می‌باشد. رنگ‌های مشتق شده از منابع معدنی مثل کرومات سرب و سولفات مس باعث بروز مشکلات جدی در سلامت افراد می‌شوند. مصرف رنگ‌های مصنوعی به لحاظ وجود باقیمانده آن‌ها در غذا، آسودگی‌های زیست محیطی، پایداری پائین، حساسیت در برابر فاکتورهای محیطی و همچنین استفاده از مواد نه چندان مفید در فرمولاسیون آن‌ها، روز به روز در حال کاهش بوده و تولیدکنندگان مواد غذایی به استفاده از رنگ‌های طبیعی تمایل بیشتری نشان می‌دهند. رنگ‌های طبیعی به لحاظ اثرات مثبت بر سلامت و بهداشت مردم، اثرات تغذیه‌ای و دارویی، عدم مشکلات محیطی و بازار مناسب، پتانسیل جایگزینی با رنگ‌های مصنوعی را دارند. آمارها نشان می‌دهد که مبادلات تجاری انجام گرفته در خصوص رنگ‌های طبیعی و طعم‌دهنده‌ها توسعه اتحادیه اروپا در سال ۲۰۰۸، ۴۷۵ هزار تن معادل ۲۰۵۵ میلیون یورو بوده است. از مهم‌ترین رنگ‌های طبیعی می‌توان به کاروتونیدها، بتاکاروتون، لیکوپین، گرانتوفیل، لوئین، فیکوییلی‌پروتئین‌ها، آناتو، فلاونونیدها، آنتوسیانین و کلروفیل اشاره نمود.^[۳-۱]

فیکوسیانین یکی از رنگدانه‌های طبیعی با رنگ آبی است که از جلبک اسپیروولینا پلاتنسیس^۱ استخراج می‌شود و در محصولات غذایی مختلف از جمله آدامس، ژله، بستنی، شکلات، نوشیدنی و ... قابلیت استفاده به عنوان رنگدانه طبیعی را دارد. علاوه بر این خاصیت، فیکوسیانین دارای خواص درمانی (اثرات مثبت بر تقویت سیستم ایمنی، خواص ضدالتهابی) و آنتی‌اکسیدانی و آنتی‌باکتریایی نیز هست و به نوعی می‌توان مواد غذایی مختلف را با این رنگدانه غنی کرد.^[۶-۴]

سازمان غذا و داروی آمریکا^۲ و موسسه امنیت غذایی اروپا^۳ و برخی از سازمان‌های ملی، استفاده از رنگ‌های مصنوعی در

1. *Spirulina platensis*

2. FDA

3. European Food Safety Authority or EFSA

۲- مواد و روش

۱- کشت میکروجلبک اسپیروولینا

نمونه خالص جلبک اسپیروولینا پلاتنسیس از آزمایشگاه جلبک‌شناسی پژوهشکده اکولوژی دریای خزر تهیه گردید. جهت کشت اسپیروولینا از محیط کشت زاروک^۱ با ترکیبات متفاوت استفاده و پس از کشت در مقیاس‌های کوچک‌تر (۱۰۰ و ۵۰۰ میلی‌لیتر)، کشت نهایی در حجم‌های ۵ و ۵۰ لیتر انجام گردید. ترکیبات محیط کشت مذکور شامل NaHCO_3 ۸ گرم، K_2SO_4 ۰/۵ گرم، K_2HPO_4 ۰/۵ گرم، NaNO_3 ۲/۵ گرم، FeSO_4 ۰/۰۵ گرم، MgSO_4 ۲ گرم، NaCl ۰/۰۵ گرم و اوره ۰/۲ گرم بوده و pH و دما به ترتیب در محدوده ۷/۵ و ۳۰ درجه سانتی‌گراد تنظیم گردید. پس از کشت جلبک و قراردادن در برابر نور فلورستن با شدت لوکس نوری مناسب (۳۵۰۰ تا ۸۰۰۰) و دوره زمانی ۱۲ ساعت تاریکی و ۱۲ ساعت روشنایی، نمونه‌ها در دمای ۲۹ درجه سانتی‌گراد به مدت ۱۶ روز قرار داده شدند. نمونه‌ها روزانه برای ۳ بار تکان داده شده تا رشد جلبک به خوبی انجام گیرد. پس از مشاهده بلوم جلبکی، نسبت به جمع‌آوری توده سلولی اقدام شد. این فرآیند با استفاده از صافی‌های ۱۰۰ و ۲۰ میکرونی انجام گردید که به ترتیب برای جداسازی ذرات بزرگتر و توده جلبک مورد استفاده قرار گرفتند. توده جمع‌آوری شده ۳ بار با آب مقطر استریل (جهت کاهش اثرات محیط کشت) شستشو داده شد. برای خشک‌کردن جلبک، نمونه‌ها در دمای ۴۵ درجه سانتی‌گراد آون (بهداد، ایران) برای مدت ۴۸ ساعت قرار داده شدند [۱۶-۱۴].

۲- استخراج فیکوسیانین به روش آنزیمی

در این روش، از آنزیم لیزوژیم جهت هضم و هیدرولیز آنزیمی جلبک به مقدار ۴۰ میلی‌گرم به ازای هر گرم وزن خشک جلبک استفاده شد. به منظور آغاز هیدرولیز آنزیمی، از لیزوژیم به همراه EDTA و سدیم آزید به مقدار ۱۰۰ میلی‌مولار (به عنوان عوامل ضدمیکروبی) استفاده گردید. سپس نمونه‌ها به مدت ۴ ساعت در حمام آب ۴۴ درجه سانتی‌گراد شیک شدند (حمام آب شیکدار، اختریان، ایران). پس از انجام مراحل فوق، نمونه‌ها در دور ۱۰۰۰۰ دور در دقیقه به مدت ۲۵ دقیقه در دمای ۴ درجه سانتی‌گراد سانتریفیوژ (Hettick، آلمان) شده

نظیر pH، نور و اکسیژن بر مواد ریزپوشانی شده [۲] کترول رهایش مواد محصور در دیواره و در نتیجه تاثیر بیشتر بر کیفیت ماده غذایی [۳] حمل و نقل آسان مواد ریزپوشانی می‌شود [۹ و ۱۰]. در فرآیند ریزپوشانی، انواع مختلف کربوهیدرات، سلولز، صمغ‌ها، چربی‌ها، پروتئین‌ها و پلیمرهای با درجه غذایی به عنوان ماده دیواره یا حامل استفاده می‌شوند. پوشش‌ها ممکن است به صورت منفرد و یا ترکیبی مورد استفاده قرار گیرند. به هنگام استفاده ترکیبی از دیواره‌ها، اغلب از پلی‌ساقاریدها، پروتئین‌ها و یا پلی‌ساقارید/پروتئین استفاده می‌گردد [۱۱].

هدف از تحقیق حاضر در مرحله اول استخراج رنگدانه فیکوسیانین از جلبک اسپیروولینا پلاتنسیس به روش آنزیمی (لیزوژیم) و نانوریزپوشانی آن بود. در مرحله دوم خصوصیات فیزیکوشیمیایی نانوذرات (میانگین سایز ذرات، کارائی ریزپوشانی و رهایش در محیط مشابه دستگاه گوارش انسان) بررسی شدند. نهایتاً فیکوسیانین در دو فرم آزاد و نانو ریزپوشانی شده به فرمولاسیون بستنی اضافه و خواص کیفی و حسی محصول ارزیابی گردید. در جوامع علمی داخل و بین‌الملل از فیکوسیانین جهت غنی‌سازی و بهبود ویژگی‌های کیفی و حسی مواد غذایی استفاده نشده است. اما استفاده از پودر جلبک اسپیروولینا در برخی از مواد غذایی مانند کلوچه [۱۲] و ماست [۱۳] سابقه داشته است. در تحقیق صالحی‌فر و همکاران (۱۳۹۱)، از پودر جلبک اسپیروولینا در فرمولاسیون کلوچه استفاده گردید. غلظت‌های مورد استفاده شامل ۰/۵، ۱ و ۱/۵ درصد بود و ویژگی‌های بافتی، رنگ و تغذیه‌ای کلوچه مورد بررسی قرار گرفت. نتایج نشان داد که میزان پروتئین، آهن و اسید چرب لینولنیک در کلوچه‌های غنی‌شده با جلبک به طور معنی‌داری افزایش داشته و برخی از پارامترهای فساد نظیر عدد پراکسید نیز کاهش داشته است. نتایج فاکتورهای حسی حاکی از رضایت‌بخش‌بودن تغییرات مذکور بوده است [۱۲]. در پژوهش آگوستینی و همکاران (۲۰۱۷)، از اسپیروولینا جهت غنی‌سازی ماست استفاده گردید. نتایج نشان داد که در غلظت ۱ درصد اسپیروولینا، تغییرات مشاهده شده در پارامترهای نظیر پروتئین کل، ویسکوزیته، جمعیت باکتری‌های لاکتیک بهتر از نمونه شاهد است اما میزان خاکستر، کربوهیدرات، رطوبت، چربی، اسید لاکتیک و pH قادر اختلاف معنی‌دار با نمونه شاهد بودند [۱۳].

دور ۱۰۰۰ دور در دقیقه برای مدت ۱۵ دقیقه استفاده گردید. محلول حاصل از فرآیند، در دمای ۱۸- درجه سانتی گراد Vaco 2 منجمد و با استفاده از دستگاه خشک کن انجام داد (Zirbus آلمان) در فشار ۰/۰۵۱ میلی بار و دمای ۵۰- درجه سانتی گراد خشک گردید [۹ و ۱۰].

۵-۲- کارایی فرآیند نانو ریزپوشانی

برای محاسبه کارایی فرآیند نانو ریزپوشانی (درصد) از فرمول زیر استفاده گردید [۹ و ۱۰]. در این رابطه F_1 ، مقدار فیکوسیانین فاقد پوشش و F_2 ، مقدار فیکوسیانین اضافه شده در ابتدای آزمایش است.

$$\text{ضریب افزایش حجم} (\%) = \frac{(F_1 - F_2)}{F_2} \times 100$$

۶-۲- درصد فراوانی و اندازه کپسولها

تائید درصد فراوانی هسته، پوششها و اندازه آنها با استفاده از دستگاه پارتیکل سایز آنالایزر (Shimadzu، ژاپن) و بر اساس روش تفرق نور لیزر انجام گرفت. ابتدا سوسپانسیون اولیه‌ای از فیکوسیانین نانو ریزپوشانی شده در آب مقطر تهیه شده و با استفاده از دستگاه پارتیکل سایز آنالایزر، متوسط اندازه ذرات بر اساس میانگین قطر حجمی و با استفاده از معادله زیر محاسبه گردید [۹ و ۱۰]. در این رابطه n : تعداد ذرات، d_i : قطر میانگین ذرات و D : قطر میانگین ذرات است.

$$D[4,3] = \frac{\sum n i d_i^4}{\sum n i d_i^3}$$

۷-۲- بررسی مرغولوژی ذرات با استفاده از

میکروسکوپ الکترونی روبشی

برای تائید اندازه، مرغولوژی ذرات نانو ریزپوشانی شده، از میکروسکوپی الکترونی روبشی استفاده گردید. نمونه‌های خشک شده، بر روی پین‌های آلومینیومی چسبانده شده و با استفاده از یک لایه نازک رسانا (طلاء و پالادیوم) پوشانده شدند. این عمل با کمک ابزاری به نام پوشش دهنده و با استفاده از میدان الکتریکی و گاز آرگون انجام شد. دستگاه SEM مورد استفاده مدل KYKY- EM3200 ساخت کشور چین بود. ولتاژ دستگاه ۲۶ کیلو ولت بوده و با استفاده از نیروی اتمی ساختار مورد بررسی قرار گرفت. برای لایه گذاری طلاء و پالادیوم نیز از دستگاه KYKY مدل ۱۲ ساخت کشور چین استفاده شد [۹ و ۱۰].

و مایع رویی (رنگ آبی تیره) برای اندازه‌گیری رنگدانه جمع‌آوری شدند [۱۴ و ۱۵].

۲-۳- خالص‌سازی نسبی فیکوسیانین

برای خالص‌سازی نسبی فیکوسیانین از سولفات آمونیم با درجه اشباعیت ۴۰ درصد استفاده شد. این ماده به آرامی به محلول حاوی فیکوسیانین اضافه و برای مدت یک ساعت هم زده شد. پس از قراردادن نمونه حاوی مخلوط فوق در مکان تاریک و دمای ۴ درجه سانتی گراد به مدت ۲۴ ساعت، فرآیند سانتریفیوز در دور ۱۵۰۰۰ g به مدت ۱۵ دقیقه انجام شد. مایع بی‌رنگ رویی حاصل از سانتریفیوز، دور ریخته شده و به رسوب آبی رنگ (خلوص A₆₂₀/A₂₈₀ ۱/۱۳۵ و غلظت ۳/۷۵۱ میلی‌گرم در میلی‌لیتر)، مقداری محلول بافر فسفات (pH=۷) اضافه و در دمای ۴ درجه سانتی گراد نگهداری شد [۱۷ و ۱۸].

۴- نانو ریزپوشانی کردن فیکوسیانین

به منظور افزایش پایداری پیگمان فیکوسیانین، از روش ریزپوشانی در جهت تولید هسته و پوشش در مقیاس نانومتر استفاده گردید. برای انجام فرآیند، از پوشش ترکیبی پلی‌ساقاریدی (مالتوکسترین 20) و پروتئینی (کازئینات سدیم) با نسبت ۱:۱ استفاده و نسبت پوشش‌ها به هسته نیز ۴ به ۱ در نظر گرفته شد. ابتدا سوسپانسیون همگنی از مالتودکسترین در آب مقطر (۴ گرم در ۵۰ میلی‌لیتر) تهیه شد و به لحاظ حلالیت این ماده در آب، از تیمار حرارتی استفاده نشد. جهت تهیه پوشش دوم، ابتدا سوسپانسیونی از کازئینات سدیم در آب مقطر تهیه (۴ گرم در ۵۰ میلی‌لیتر) و با قرار دادن بر روی همزن مغناطیسی و دمای ۴۵ درجه برای مدت ۳۰ دقیقه، سوسپانسیون همگنی از آن تهیه گردید. محلول حاوی کازئینات (پس از کاهش دما به ۲۵ درجه) به محلول دارای مالتودکسترین اضافه شد و برای ۲۴ ساعت در دمای ۴ درجه جهت افزایش جذب آب نگهداری گردید. در مرحله انتهايی، ۲ گرم فیکوسیانین استخراج شده از روش آنزيمی به محلول حاوی پوشش‌ها اضافه شده و پس از حل شدن آن، جهت تولید Hilscher، UP200 (آلمان) با طول موج ۴۰ کیلوهرتز به مدت ۱۵ دقیقه و تعداد ۶ سیکل (زمان هر سیکل ۳۰ ثانية و زمان استراحت ۱۵ ثانية) بین سیکل‌ها، دمای ۲۵ درجه سانتی گراد) استفاده شد. برای کاهش بیشتر اندازه ذرات و افزایش راندمان ذرات نانوکپسوله، از دستگاه هموژنایزر با دور بالا (اولتراتوراکس، IKa، ایتالیا) با

(یخ و آب‌نمک) تا دمای ۵ درجه سانتی‌گراد خنک شد. سپس مرحله رساندن، در دمای ۶-۴ درجه سانتی‌گراد به مدت ۲۴ ساعت انجام شد. رنگدانه فیکوسیانین (فرم آزاد و نانو ریزپوشانی شده) و سایر مواد طعم‌دار مثل وانیل نیز به آمیخته اضافه گردید. مخلوط در دستگاه بستنی‌ساز (Gel-Matic، ایتالیا) غیر مدام به مدت ۳۰ دقیقه مرحله انجماد را در دمای ۴ درجه سانتی‌گراد سپری کرد و در نهایت بستنی در ظروف پلاستیکی درب‌دار از جنس پلی اتیلن بسته‌بندی شد. محصول تولید شده به مدت ۲۴ ساعت در دمای ۱۸ درجه سانتی‌گراد جهت انجام مرحله سفت‌شدن قرار داده شد.

۱۱-۲-ارزیابی خصوصیات کیفی بستنی تولید شده

۱۱-۲-PH

برای اندازه‌گیری pH در آمیخته، از pH متر دیجیتال (HM-20S، ژاپن) در دمای ۲۵ درجه سانتی‌گراد استفاده شد [۲۱].

۱۱-۲-ویسکوزیته

ویسکوزیته آمیخته با استفاده از ویسکومتر چرخشی بروکفیلد مدل DV-5 Pro در دمای ۵ درجه سانتی‌گراد که به کمک مخلوط آب و یخ ثابت نگه داشته می‌شد به مدت ۶۰ ثانیه روی مخلوط بستنی با حجم ۶۰۰ میلی‌گرم با اسپیندل L4 و سرعت ۵۰ دور در دقیقه انجام شد [۲۲].

۱۱-۲-ضریب افزایش حجم

افزایش حجم به روش وزنی با مقایسه حجم مشخصی از مخلوط بستنی قبل از انجماد (M_1) و بعد از انجماد (M_2) و محاسبه درصد اختلاف آنها با استفاده از رابطه زیر محاسبه شد [۲۳].

$$\text{ضریب افزایش حجم} = \frac{(M_1 - M_2)}{M_2} \times 100$$

۱۱-۲-سفنتی بافت

جهت تعیین سفتی نمونه‌ها با قطر ۵۰ میلی‌متر بعد از طی مرحله سفت‌شدن از دستگاه آنالیز بافت (Brookfield، آمریکا) با پروب استوانه‌ای ۵ میلی‌متر، سرعت نفوذ ۱ میلی‌متر بر ثانیه و مقدار نفوذ ۱۰ میلی‌متر استفاده شد [۲۴].

۱۱-۲-مقدار ذوب

نمونه بستنی به مقدار ۳۰ گرم در دمای ۲۵ درجه سانتی‌گراد روی یک صفحه فلزی مشبك در دهانه ارنل مایر در داخل انکوباتور قرار داده شد و وزن مقدار بستنی ذوب‌شده بر حسب

۲-۸-بررسی رهایش فیکوسیانین نانو ریزپوشانی شده در شرایط آزمایشگاهی

به منظور ارزیابی روند آزادسازی و رهایش فیکوسیانین نانو ریزپوشانی شده، ابتدا دو محلول مشابه مایع اسیدی معده و مایع خشی رووده کوچک تهیه شد. محلول اول و دوم به ترتیب حاوی اسید کلریدریک و بافر فسفات سدیم بوده و pH آنها در محدوده ۱/۲ و ۷/۴ تنظیم شد. بعد از این مرحله، پودر فیکوسیانین نانو ریزپوشانی شده به مقدار ۵۰۰ میلی‌گرم (۱۰۰ میلی‌گرم فیکوسیانین خالص به عنوان هسته که در ۴۰۰ میلی‌گرم از نسبت مساوی مالتودکسترین و کازئینات سدیم پوشش‌دار شده بود) به محلول اول اضافه شده و به مدت ۲ ساعت در سرعت ۱۰۰ دور بر دقیقه در دمای ۳۷ درجه سانتی‌گراد قرار داده شد. بعد از این مرحله، pH محلول به ۷/۴ افزایش داده شد و به مدت ۴ ساعت در دمای ۳۷ درجه و سرعت ۱۰۰ دور بر دقیقه، عمل شیک‌کردن ادامه یافت. تغییرات غلظت فیکوسیانین رهاسازی شده، در هر ۶۰ دقیقه، با استفاده از روش اسپکتروفوتومتری اندازه‌گیری شد [۹].

۹-۲-استفاده از فیکوسیانین در فرمولاسیون

بستنی

به منظور ارزیابی تاثیر فیکوسیانین بر خواص کیفی بستنی، مقدار ۱۰۰ میکروگرم بر میلی‌لیتر برای فرم خالص و ۵۰۰ میکروگرم بر میلی‌لیتر برای فرم نانو ریزپوشانی شده، به آمیخته بستنی (قبل از انجماد) اضافه شد. انتخاب این غلظت بر اساس پیش‌تست‌های انجام‌شده و مطالعه سایر تحقیقات در خصوص استفاده از رنگدانه‌های جلبکی در مواد غذایی بوده است [۱۹].

۱۰-۲-تهیه بستنی

تهیه بستنی بر اساس روش آکالین و اریسیر (۲۰۰۸) انجام شد [۲۰]. ترکیبات مورد استفاده شامل ۲۸ درصد خامه، ۱۶ درصد شکر، ۵/۵ درصد شیر خشک بدون چربی، ۰/۴ درصد ماده پایدارکننده (ثعلب)، ۰/۱ درصد وانیل و ۵۰ درصد شیر تازه (۱/۵ چربی) بود. بعد از توزیز مواد اولیه، ابتدا شیر تا دمای ۴۰-۴۵ درجه سانتی‌گراد گرم شد. سپس شیر و خامه با استفاده از همزن دستی به مدت ۱ دقیقه یکنواخت و پس از آن، سایر اجزاء (شکر، پودر شیر خشک و ثعلب) به مخلوط افزوده و به مدت ۵ دقیقه با همزن مکانیکی هم‌زد شدند. مخلوط حاصله به مدت ۳۰ دقیقه در دمای ۷۰ درجه سانتی‌گراد پاستوریزه و در نهایت به کمک ماده سرمایز

راندمان نانو ریزپوشانی فیکوسیانین ۷۳/۴۱ درصد بوده که نشان از کارآیی بالای این روش در ریزپوشانی فیکوسیانین می‌باشد. نتایج اندازه ذره و تراکم فیکوسیانین و پوشش‌های مورد استفاده که تحت فرآیند نانو ریزپوشانی قرار گرفته در شکل ۱ نشان داده شده است. مطابق جدول و شکل ۱، اندازه پوشش‌های حاوی فیکوسیانین ۳۹۷/۱ نانومتر بوده است. در شکل ۱ سه پیک کاملاً مجزا مشاهده می‌شود. پیک ۱ نمایانگر فیکوسیانین نانو ریزپوشانی شده با مالتودکسترن و کازئینات سدیم است که اندازه و تراکم آن به ترتیب ۳۸۱/۷ نانومتر و ۷۳/۳ درصد می‌باشد و بیشترین تراکم را بخود اختصاص داده که نشان از درصد بالایی از فیکوسیانین می‌باشد که به درستی نانو ریزپوشانی شده است. پیک ۲ نشان دهنده فیکوسیانین آزاد است که هر چند اندازه آن در حد نانومتر می‌باشد (۸۶/۶۵ نانومتر) اما پوششی آن را احاطه نکرده است. تراکم این فرم از فیکوسیانین ۲۱/۴ درصد ثبت شد. در حقیقت این پیک نشان دهنده نانوذره فیکوسیانین می‌باشد. در پیک ۳ به ذراتی اشاره شده که اندازه آن‌ها در حد میکرومتر و نشان از باقیمانده موادی است که تحت تاثیر نانو ریزپوشانی قرار نگرفته‌اند. اندازه متوسط این ذرات ۵/۴۱۱ میکرومتر و تراکم آن‌ها نیز ۵/۲ درصد ثبت شده است.

Table 1 Physical characteristics of nanoencapsulated phycocyanin

Physical characteristics	
Encapsulation efficiency (%)	73.41±2.11
Average particle size (nm)	397.1±1.96

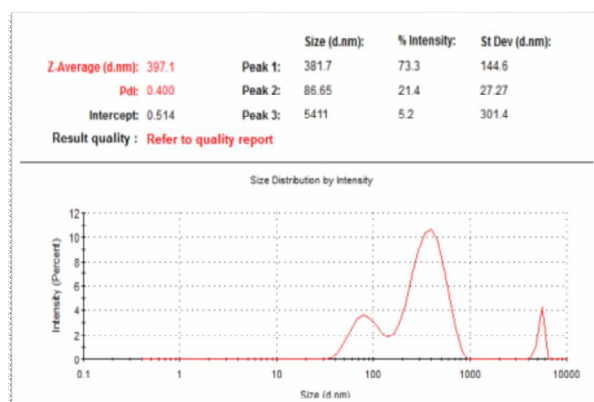


Fig 1 Results of nanoencapsulated phycocyanin size using particle sizer device

مورفولوژی فیکوسیانین نانو ریزپوشانی شده که با میکروسکوپ الکترونی روبشی تهیه شده در شکل ۲ نشان داده شده است.

درصدی از نمونه اولیه بعد از گذشت ۴۰ دقیقه اندازه‌گیری گردید [۲۵].

۱۱-۲-۶-آزمون‌های حسی پستنی

ارزیابی حسی پستنی دارای رنگدانه فیکوسیانین خالص و نانو ریزپوشانی شده، در زمان‌های ۱۵، ۳۰ و ۴۵ روز نگهداری در دمای ۱۸- درجه سانتی‌گراد و با آزمون هدوانیک ۵ نقطه‌ای توسط ۵ آموزش‌دهنده مورد ارزیابی قرار گرفت. صفات مورد بررسی شامل رنگ، طعم، شدت سردی، شدت صمغیت، سفتی، شدت کریستالی و سرعت ذوب بودند [۲۶ و ۲۷]. اسامی امتیازدهی در روش ارزیابی حسی به صورت ذیل بوده است:

سردی: احساس سرما بین زبان و سقف دهان در حین ذوب شدن پستنی (احساس سردی زیاد: امتیاز پایین).

softness: فشار وارد شده به سقف دهان در حین خوردن نمونه (هرچه نیروی وارد شده بیشتر: امتیاز پایین تر).

شدت کریستالی: مرتبط با حضور کریستال یخ بین زبان و سقف دهان بللافاصله پس از گذاشتن نمونه در دهان (هرچه نمونه صاف‌تر و احساس کریستال کمتر: امتیاز بالاتر).

صمغی بودن: احساس حالت صمغی روی زبان بعد از بلعیدن نمونه (هر چه احساس صمغی بودن بیشتر: امتیاز پایین تر).

سرعت ذوب شدن: سرعت آب شدن نمونه پس از فشاردادن آن بین کام و زبان (سرعت پایین آب شدن: امتیاز بالاتر).

۱۲-۲-تجزیه و تحلیل آماری

تحقیق حاضر در قالب طرح کاملاً تصادفی اجرا و به منظور آنالیز آماری از نرم‌افزار SPSS (نسخه ۱۸) استفاده گردید. داده‌ها از طریق آزمون آنالیز واریانس یک‌طرفه^۷ آنالیز و معنی‌داری تفاوت بین میانگین‌ها بوسیله آزمون دانکن^۸ در سطح اطمینان ۹۵ درصد ارزیابی شد.

۳-نتایج

۳-۱-خصوصیات فیزیکوشیمایی فیکوسیانین

نانو ریزپوشانی شده

نتایج آزمایشات مربوط به راندمان فرآیند و اندازه متوسط فیکوسیانین نانو ریزپوشانی شده در جدول ۱ ارائه شده است.

7. One-Way ANOVA
8. Duncan

به طوری که ذرات در اندازه‌های مختلف (از قطر ۵۱/۴ نانومتر تا ۲۲۱/۲ نانومتر) قابل مشاهده می‌باشند. نتایج رهایش فیکوسیانین نانو ریزپوشانی شده در محلول‌های شبیه‌سازی شده با معده ($pH=1/2$) و روده کوچک ($pH=7/4$) در جدول ۲ نشان داده شده است. در $pH=1/2$ ، درصد رهایش فیکوسیانین پائین بوده (۲ ساعت اول) به طوری که در محدوده ۷ تا ۱۳ درصد نوسان دارد. اما بعد از این مرحله ($pH=7/4$)، درصد رهاسازی به طور قابل ملاحظه‌ای افزایش داشته (۴ ساعت دوم) و در زمان‌های ۳ و ۴ ساعت به ترتیب از ۳۵ به ۷۱ درصد رسید. بعد از این مرحله میزان رهاسازی فیکوسیانین، روند ثابتی بخود گرفت. نتایج رهاسازی فیکوسیانین در زمان‌های اولیه نسبت به زمان‌های ۴ تا ۶ ساعت معنی‌دار بوده است ($p<0.05$).

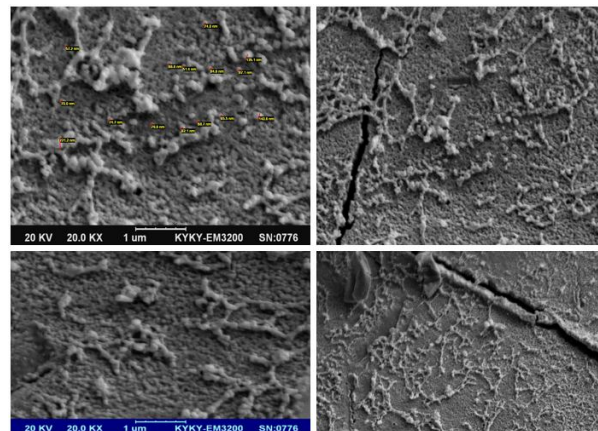


Figure 2: Density of nanoencapsulated phycocyanin of different sizes under scanning electron microscopy

مطابق این شکل (مجموع اشکال)، ذرات نانو ریزپوشانی شده با ابعاد مختلف در گسترش میکروسکوپی پراکنده است؛

Table 2 Release rate of nano-coated phycocyanin in simulated solutions with gastrointestinal conditions

pH	Time (hour)	Release of phycocyanin (%)
1.2	1	7.41±0.55 ^d
	2	13.52±1.11 ^c
	3	35.20±1.45 ^b
	4	71.19±2.07 ^a
	5	70.35±2.13 ^a
	6	68.25±1.32 ^a

*Different letters indicate a significant difference between the data ($p<0.05$).

ریزپوشانی شده دارای بیشترین مقدار ویسکوزیته بوده (114.0 ± 10.5 سانتیپوآز یا میلیپاسکال) که این امر نشان‌دهنده آن است که پوشش‌های مورد استفاده بر خواص ویسکوزیته بستنی تاثیرگذار بوده‌اند. تیمارهای حاوی فیکوسیانین خالص و تیمار شاهد به ترتیب دارای ویسکوزیته 96.0 ± 5.5 و 87.0 ± 5 سانتیپوآز بودند. درصد افزایش حجم یا اورران در تیمار شاهد، فیکوسیانین خالص و نانو ریزپوشانی شده به ترتیب 41.45 ± 0.45 و 41.17 ± 0.11 درصد، کمترین درصد و 39.65 ± 0.24 گزارش شد. مطابق جدول ۳، کمترین میزان سفتی بر حسب نیوتون در تیمار حاوی فیکوسیانین نانو ریزپوشانی شده با 15.23 نیوتون و بیشترین میزان آن نیز در تیمار شاهد با مقدار 18.78 نیوتون بوده و به نظر می‌رسد اضافه کردن فیکوسیانین و پوشش‌ها باعث نرم‌شدن بافت بستنی شده‌اند. تغییرات سفتی در تیمارهای مختلف معنی‌دار بوده است ($p<0.05$). درصد ذوب بستنی بین 73.28 تا 76.45 متغیر و بیشترین و کمترین مقدار آن نیز به ترتیب مربوط به تیمار شاهد و فیکوسیانین نانو ریزپوشانی شده بود

۲-۳- تاثیر فیکوسیانین خالص و نانو ریزپوشانی شده بر خواص کیفی بستنی

به منظور ارزیابی تاثیر فیکوسیانین بر پارامترهای کیفی و شاخص‌های حسی بستنی، از تیمارهای شاهد (بدون رنگدانه) و فرم‌های خالص و نانو ریزپوشانی شده رنگدانه به مقدار ۱۰۰ و ۵۰۰ میکروگرم بر میلی‌لیتر به آمیخته بستنی (قبل از انجماد) اضافه شد و محصول تهیه شده طبق استاندارد مورد ارزیابی قرار گرفت. غلاظت مورد نظر بر اساس پیش‌تست‌های انجام شده و مشاهده رنگ ایجاد شده و همچنین سایر مطالعات انجام شده در خصوص استفاده از رنگدانه‌های مختلف در مواد غذایی تعیین شد. نتایج پارامترهای فیزیکی و حسی آمیخته و بستنی حاوی فیکوسیانین خالص، نانو ریزپوشانی شده و نمونه شاهد در جداول ۳ و ۴ ارائه شده است. مقادیر pH در شاهد، فیکوسیانین خالص و نانو ریزپوشانی شده به ترتیب 6.74 ± 0.10 ، 6.70 ± 0.01 و 6.77 ± 0.01 ثبت شد. تیمار حاوی فیکوسیانین نانو

معنی داری کاهش داشته است ($p<0.05$).

(p). با اضافه نمودن فیکوسیانین و پوشش های مالتودکسترین و آب پنیر تغليظ شده، درصد ذوب بستنی به طور

Table 3 Results of stiffness factors and melting rate in control ice cream (without phycocyanin pigment) and with pure phycocyanin and nanocoated at different times

Phycocyanin forms	Time (day)	Stiffness (N)	Melting amount (%)
Control	15	17.24 ± 0.43^b	75.18 ± 0.21^b
	30	18.45 ± 0.32^a	75.33 ± 0.36^b
	45	18.78 ± 0.21^a	76.45 ± 0.17^a
Pure	15	17.21 ± 0.45^b	74.66 ± 0.21^c
	30	17.35 ± 0.33^b	75.21 ± 0.21^b
	45	17.55 ± 0.19^b	75.11 ± 0.21^b
Nanoencapsulated	15	15.23 ± 0.42^c	72.28 ± 0.21^e
	30	15.45 ± 0.30^c	73.30 ± 0.21^d
	45	15.63 ± 0.44^c	73.25 ± 0.21^d

*Different letters indicate a significant difference between the data ($p<0.05$).

را بخود اختصاص داده و با سایر تیمارها دارای اختلاف معنی دار بوده است ($p<0.05$). شدت کریستالی بودن، همچنین شدت صمغیت و سردی بستنی در تیمارهای حاوی فیکوسیانین کمتر از تیمار شاهد بوده ($p<0.05$) و در نتیجه امتیازات کسب شده برای تیمارهای حاوی فیکوسیانین نانو ریزپوشانی شده و خالص بیشتر از تیمار شاهد بوده است. با در نظر گرفتن تمامی فاکتورهای حسی مورد بررسی، تیمار حاوی فیکوسیانین نانو ریزپوشانی شده در زمانهای مورد بررسی از مقبولیت قابل قبولی برخوردار بوده؛ هر چند که فاکتور رنگ در تیمار حاوی فیکوسیانین خالص بهتر از سایر تیمارها گزارش شده است.

نتایج شاخص های حسی (جدول ۴) نشان داد که فاکتور رنگ در تیمار حاوی فیکوسیانین خالص بیشترین امتیاز را بخود اختصاص داده و بعد از آن تیمارهای فیکوسیانین نانو ریزپوشانی شده و شاهد قرار دارند ($p<0.05$). استفاده از پوشش های اختصاصی جهت نانو ریزپوشانی کردن فیکوسیانین، باعث کاهش رنگ آبی تیره فیکوسیانین شده و در مقایسه با فیکوسیانین خالص از مقبولیت کمتری برخوردار بوده است. طعم بستنی در تیمارهای حاوی فیکوسیانین (خالص و نانو) بهتر از تیمار شاهد بوده است ($p<0.05$). به لحاظ نرم ترشدن بافت بستنی در تیمارهای حاوی فیکوسیانین نانو ریزپوشانی شده، این تیمار از نظر پارامتر سفتی، بیشترین امتیاز

Table 4 Results of sensory parameters in control ice cream (without phycocyanin pigment) and with pure phycocyanin and nanocoated at different times

Phycocyan in forms	Time (day)	Color	taste	Hardness	Crystalline intensity	Gumminess	Cool intensity	General acceptance
Control	15	4.23 ± 0.17^e	4.21 ± 0.21^{ab}	4.12 ± 0.1^c	3.22 ± 0.2^d	4.34 ± 0.18^{bc}	3.65 ± 0.15^e	4.11 ± 0.13^d
	30	4.22 ± 0.13^f	4.11 ± 0.19^{ab}	3.89 ± 0.13^d	3.13 ± 0.16^d	3.67 ± 0.11^d	3.34 ± 0.31^f	3.65 ± 0.15^e
	45	4.2 ± 0.15^f	3.95 ± 0.11^{bc}	3.65 ± 0.22^e	2.87 ± 0.11^e	3.33 ± 0.31^e	2.73 ± 0.24^g	3.23 ± 0.11^f
Pure	15	4.95 ± 0.21^a	4.33 ± 0.33^a	4.45 ± 0.16^b	4.32 ± 0.14^{ab}	4.67 ± 0.17^a	4.12 ± 0.21^c	4.65 ± 0.16^b
	30	4.91 ± 0.18^a	4.36 ± 0.17^a	4.43 ± 0.22^b	4.21 ± 0.11^{bc}	4.54 ± 0.14^{ab}	3.91 ± 0.19^d	4.42 ± 0.17^c
	45	4.93 ± 0.13^a	4.31 ± 0.15^a	4.45 ± 0.25^b	4.13 ± 0.14^c	4.33 ± 0.22^{bc}	3.75 ± 0.12^e	4.11 ± 0.25^d
Nanoencapsulated	15	4.75 ± 0.1^b	4.55 ± 0.11^a	4.8 ± 0.13^a	4.57 ± 0.11^a	4.84 ± 0.13^a	4.73 ± 0.11^a	4.85 ± 0.15^a
	30	4.7 ± 0.22^c	4.35 ± 0.35^a	4.76 ± 0.11^a	4.51 ± 0.15^a	4.72 ± 0.14^a	4.66 ± 0.12^a	4.65 ± 0.1^b
	45	4.64 ± 0.32^d	4.32 ± 0.42^a	4.71 ± 0.26^a	4.46 ± 0.32^a	4.55 ± 0.33^{ab}	4.58 ± 0.21^{ab}	4.53 ± 0.13^b

*Different letters indicate a significant difference between the data ($p<0.05$).

نشان از کارآئی بالای این فرآیند می باشد. ذرات نانو ریزپوشانی شده به شکل کروی منظم بوده و بالاترین پیک در نتایج پاراتیکل سایز مریبوط به پوشش ترکیبی مالتودکسترین و کازئینات سدیم با تراکم و اندازه $\frac{73}{3}/\frac{3}{7}$ درصد و $\frac{381}{7}$ بوده و اندازه بزرگترین ذره نانو ریزپوشانی شده در گسترش

۴- بحث و نتیجه گیری

برای نانو ریزپوشانی کردن فیکوسیانین در این مطالعه، از نسبت برابر مالتودکسترین و کازئینات سدیم استفاده و نسبت پوشش ها به هسته نیز ۴ به ۱ بوده است. بر اساس نتایج این مطالعه، راندمان نانو ریزپوشانی فیکوسیانین، $\frac{73}{4}/\frac{41}{1}$ بوده که

است. نتایج تحقیق مذکور با پژوهش حاضر کاملاً هم خوانی دارد. در این پژوهش شکل میکروپسول‌ها به صورت گرد و کروی و اندازه آن‌ها نیز بین ۹۰۰–۱۰۰۰ میکرومتر ثبت شد. این ذرات از نظر شکل شبیه نانوذرات تولیدشده در تحقیق حاضر هستند اما اندازه ذرات در پژوهش جاری، به مراتب کوچک‌تر می‌باشد (۵۱/۴–۲۲۱/۲ نانومتر). کارآیی و میزان لودینگ فیکوسیانین در مطالعه مذکور به ترتیب ۶۰/۹ درصد و ۲۲/۱ درصد گزارش شد که در مقایسه با تحقیق حاضر کمتر می‌باشد [۳۱].

نتایج رهایش فیکوسیانین در شرایط شبیه‌سازی شده معده (pH=۱/۲) و روده (pH=۷/۴) نشان داد که درصد رهایش فیکوسیانین در pH=۱/۲ در ۲ ساعت اول پائین بوده (۱۳/۵۲) درصد) ولی با تغییر pH به ۷/۴، رهایش افزایش یافته به طوری که در زمان ۴ ساعت به ۷۱/۱۹ درصد می‌رسد. تغییر pH از اسیدی به خشی باعث افزایش نفوذپذیری دیواره پوشش‌ها شده و در نتیجه درصد رهایش فیکوسیانین نیز افزایش می‌یابد. نوع پوشش مورد استفاده در رهاسازی هسته تاثیر گذار خواهد بود. وقتی از پوشش پروتئینی به تنها یک استفاده گردد شرایط اسیدی معده باعث هیدرولیز پروتئین و در نتیجه باعث رهایش هسته خواهد شد. اما به هنگام استفاده ترکیبی پروتئین و پلی‌ساقارید، روند رهایش کندر می‌گردد. نتایج رهایش فیکوسیانین در گزارش سوزری و همکاران (۲۰۱۷) بدین صورت بوده که آزادسازی سریع در ۲ ساعت اولیه در شرایط اسیدی رخ داده (۵۳ درصد) و بعد از آن، روند رهایش در شرایط قلیایی به کندی صورت گرفته و تقریباً ثابت می‌گردد (۵۷ درصد) [۳۱]. نتایج مذکور با مطالعه حاضر مغایرت دارد. یان و همکاران (۲۰۱۴) گزارش کردن که روند رهاسازی فیکوسیانین از پوشش‌ها در محیط اسیدی کندر از شرایط قلیایی است. به طوری که در چنین شرایطی، درصد رهاسازی در تیمار ترکیبی، ۹۵/۰۲ درصد بوده که در ۴ ساعت اول رخ داده است. برای تیمار آژینات به تنها، میزان رهاسازی در ۳ ساعت اول، ۷۴/۱۴ درصد ثبت شد [۹]. درصد رهاسازی در هر دو تیمار، نسبت به تیمار ترکیبی مورد استفاده در تحقیق حاضر بیشتر بوده که علت این امر به غلظت و ماهیت پوشش‌های مورد استفاده مرتبط می‌باشد.

به منظور ارزیابی تاثیر فیکوسیانین بر پارامترهای کیفی و شاخص‌های حسی بستنی از غلظت ۱۰۰ برای فیکوسیانین خالص و ۵۰۰ میکروگرم بر میلی‌لیتر برای فیکوسیانین نانو ریزپوشانی شده استفاده شد و پارامترهای مختلف مورد بررسی

میکروسکوپ الکترونی نیز ۲۲۱/۲ نانومتر ثبت شده است. دوی و همکاران (۲۰۱۶) در مطالعه خود از مالتودکسترین و کارآگینان (به نسبت ۹ به ۱) جهت ریزپوشانی کردن فیکوسیانین استفاده کردند. نتایج نشان داد که ریزپوشانی کردن در برابر فرآیند اکسیداسیون، مقاومت در برابر گرما و مواد زیست‌فعال شده و به هنگام استفاده ترکیبی از پوشش‌ها، محصول نهایی تولیدشده در برابر اکسیداسیون حفظ می‌شود. در حالی که در نمونه‌های دارای پوشش منفرد، این ویژگی چندان مشهود نمی‌باشد. تحقیق مذکور همچنین نشان داد که شکل میکروسکوپ الکترونی ذرات به صورت کروی منظم بوده و به هنگام افزایش غلظت کارآگینان و یا مالتودکسترین، شکل منظم کروی تغییر می‌کند [۲۸]. در مطالعه حاضر از نسبت مساوی مالتودکسترین و کازئینات سدیم جهت ریزپوشانی کردن فیکوسیانین استفاده و شکل میکروسکوپی ذرات نیز بصورت کروی منظم ثبت شد. کارآگینان به دلیل ماهیت صمغی و ویسکوزیته بالا، باعث تشکیل اشکال نامنظم از ذرات شده در حالی که مالتودکسترین و کازئینات دارای ویسکوزیته کمتری می‌باشند. برای انجام فرآیند ریزپوشانی و تولید ذرات به شکل نانو، در اغلب موارد نسبت پوشش به هسته از ۲ تا ۱۰ متغیر بوده تا فرآیند به خوبی انجام گیرد (۱۰). دوی و همکاران (۲۰۱۷) از پوشش‌های مختلف شامل آژینات و کارآگینان در ترکیب با مالتودکسترین به منظور ریزپوشانی فیکوسیانین استفاده کردند. روش مورد استفاده جهت خشک‌کردن نهایی فریزدرایر بود (مشابه روش مورد استفاده در تحقیق حاضر). نتایج نشان داد که استفاده ترکیبی آژینات و مالتودکسترین نتایج بهتری را به همراه داشته و تثبیت رنگ آبی فیکوسیانین نسبت به سایر تیمارها بیشتر و بیشترین میزان محصول و کارآبی فرآیند ریزپوشانی (به ترتیب ۸۳/۰۹ و ۳۵/۹۱ درصد) نیز مربوط به این تیمار بوده است [۲۹]. کارآبی فرآیند ریزپوشانی در مطالعه مذکور کمتر از تحقیق حاضر گزارش شد. کارآبی فرآیند ریزپوشانی تحت تاثیر نوع پوشش مورد استفاده، ویژگی‌های هیدروفوبی و هیدروفیلی و پارامترهای فیزیکوشیمیابی قرار می‌گیرد. در مطالعه هولکم و همکاران (۲۰۰۶) کارآبی ریزپوشانی، ۸۹/۷۱ درصد گزارش شده که بیشتر از مطالعه حاضر می‌باشد [۳۰]. در مطالعه سوزری و همکاران (۲۰۱۷)، به ریزپوشانی کردن فیکوسیانین با کیتوزان اشاره شد و نتایج نشان داد که کیتوزان در غلظت ۳ درصد دارای بیشترین راندمان ریزپوشانی بوده

(۳۹/۶۵ درصد) بوده است. افزودن فیکوسیانین نانو ریزپوشانی شده باعث کاهش معنی داری در مقدار اورران شده که دلیل این کاهش را می توان به محبوس شدن مولکول های آب توسط پوشش های مورد استفاده و افزایش ویسکوزیته نسبت داد. افزایش ویسکوزیته باعث کاهش توانایی در هم زدن آمیخته و پراکنده شدن کمتر حباب های هوا در بستنی می گردد. در برخی از موارد، با افزایش بیش از حد ویسکوزیته، اورران نیز حد قابل چشمگیری کاهش یافته و نشان از کارآیی پائین ماده پایدار کننده می باشد. برخلاف یافته های این پژوهش، سوکولیس و همکاران (۲۰۰۸) در بررسی تأثیر صفحه های CMC، زلتان، آژینات و گوار بر خواص کیفی بستنی مشاهده کردند، که افزایش این صفحه ها باعث افزایش در مقدار اورران می شود [۲۴]. بهرام پرور و همکاران (۲۰۱۲) در بررسی تأثیر صفحه های مختلف بر ماست منجمد اعلام کردند که افزودن صفحه گوار به این محصول تا سطح ۱۵/۰ درصد باعث افزایش اورران ولی در سطوح بالاتر به دلیل بیشتر شدن ویسکوزیته باعث کاهش اورران می شود [۳۷]. مهدیان و کارازیان (۱۳۹۲) افزایش ویسکوزیته و کاهش اورران را به موازات افزایش درصد استفاده از اینولین در فرمولا سیون بستنی کم چرب گزارش کردند [۲۱]. امیری عقدایی و همکاران (۱۳۹۱) نیز در پژوهشی مشابه نشان دادند که افزایش میزان استفاده از صفحه اسفلزه در فرمولا سیون بستنی، با کاهش اورران همراه خواهد بود [۳۸]. در مطالعه رسولی و همکاران (۲۰۱۷) مشخص گردید که بدنبال استفاده از اسپیرو لینا، اورران به طور چشمگیری کاهش یافت [۳۲]. به نظر می رسد ریشه تناقضات مشاهده شده در ارتباط با روند تغییرات اورران با افزایش میزان پایدار کننده را باید در تأثیر ویسکوزیته ایجاد شده به وسیله این ترکیبات بر اورران جستجو کرد.

نتایج تحقیق جاری می وید آن است که کمترین میزان سفتی بر حسب نیوتون در تیمار حاوی فیکوسیانین نانو ریزپوشانی شده با ۱۵/۲۳ نیوتون و بیشترین میزان آن نیز در تیمار شاهد با مقدار ۱۸/۷۸ نیوتون بوده و به نظر می رسد اضافه کردن فیکوسیانین و پوشش ها باعث نرم شدن بافت بستنی شد. سفتی بافت بستنی به عنوان یک فاکتور شاخص، در اندازه گیری رشد کریستال های یخ در نظر گرفته می شود [۲۴] و هرچه مقدار آن کمتر باشد نشان دهنده رشد کمتر کریستال یخ است. پوشش های صمجی و پلی ساکاریدی، با افزایش ویسکوزیته و خاصیت ژلی، قادر به کنترل رشد کریستال های یخ بوده و این عمل را با کنترل نفوذ آب به درون کریستال های یخ انجام می دهنند. در حقیقت این

قرار گرفتند. مقادیر pH در تیمارهای مورد بررسی بین ۶/۶۷ تا ۶/۷۴ متغیر و کمترین و بیشترین مقادیر مربوط به تیمارهای حاوی فیکوسیانین نانو ریزپوشانی شده و خالص بود. به طور کلی صفحه ها در اثر برهمکنش با سایر اجزای بستنی به خصوص پروتئین ها، باعث افزایش مقدار pH می شوند [۳۲]. ولی با این وجود، پوشش های مورد استفاده در این تحقیق، باعث کاهش نسبی pH شدند. هر چند که فیکوسیانین بدون پوشش، مقدار pH را افزایش داد. در مطالعه کرد چوای و سوراپات (۲۰۱۲) از آب پنیر تغليظ شده به عنوان جایگزین نسبی شیر خشک بستنی استفاده گردید. نتایج نشان داد که آب پنیر، pH بستنی را کاهش داده و باعث تقویت فلومکولاسیون پروتئین آب پنیر و تبدیل آن از نانومتر به میکرومتر می گردد [۳۳]. بنابراین علت کاهش جزئی pH در این مطالعه، احتمالاً بدليل استفاده از کازئینات سدیم به عنوان پوشش جهت نانو ریزپوشانی کردن فیکوسیانین بوده است. بیشترین و کمترین مقدار ویسکوزیته آمیخته، مربوط به تیمار حاوی فیکوسیانین نانو ریزپوشانی شده (۱۱۴۰ سانتی پواز) و شاهد (۸۷۰ سانتی پواز) بوده است. اضافه نمودن فیکوسیانین خالص، تأثیر چندانی بر ویسکوزیته نداشته است. پلی ساکاریدها، پروتئین ها و صفحه ها، حتی در مقادیر پائین، باعث ایجاد تغییرات قابل ملاحظه ای در خصوصیات رئولوژیکی مانند ویسکوزیته ظاهری بستنی می شوند. این پدیده ناشی از تشکیل شبکه سه بعدی و ایجاد ژل و همچنین قابلیت انعطاف محدود بین واحد های مونومر در زنجیرهای پلیمری و برهم کنش هایی است که هنگام پخش شدن آن ها بین زنجیرهای پلیمری به وجود می آید. ویسکوزیته یکی از عوامل تأثیرگذار بر نرخ ذوب شدن بستنی بوده و باعث بهبود آن می گردد [۳۴]. علت افزایش ویسکوزیته در تیمار حاوی فیکوسیانین نانو ریزپوشانی شده در مطالعه حاضر، استفاده از پوشش های پلی ساکاریدی و پروتئینی بوده است. مطالعات نشان داده که اضافه نمودن اسپیرو لینا (به عنوان یک افزودنی پروتئینی) به فرآورده های لینی (ماست، دوغ، بستنی) باعث افزایش ویسکوزیته می شود [۳۵]. بولیگر و همکاران (۲۰۰۰) در بررسی اثر صفحه گوار بر خواص کیفی بستنی گزارش کردند که افزودن این صفحه باعث افزایش ویسکوزیته آمیخته بستنی شده و دلیل افزایش ویسکوزیته را کم شدن مقدار آب در دسترس و محبوس شدن آن در آمیخته بیان کردند [۳۶]. بیشترین و کمترین ضربی افزایش حجم مشاهده شده در تیمار شاهد (۴۱/۴۵ درصد) و فیکوسیانین نانو ریزپوشانی شده

کردن که با افزایش غلظت این هیدروکلوبئیدها در اثر افزایش غلظت فاز سرمی سرعت ذوب نمونه‌ها کاهش پیدا می‌کند [۲۴]. کردچوآی و سوراپات (۲۰۱۲) گزارش کردن که آب‌پنیر ۰/۵ درصد باعث کاهش درصد ذوب در بستنی می‌شود [۳۳]. نتایج شاخص‌های حسی نشان داده شده در جدول ۴ مولید آن است که فاکتور رنگ در تیمار حاوی فیکوسیانین خالص بیشترین امتیاز را بخود اختصاص داده و بعد از آن تیمارهای فیکوسیانین نانو ریزپوشانی شده و شاهد قرار داشته‌اند. استفاده از پوشش‌های اختصاصی جهت ریزپوشانی کردن فیکوسیانین، باعث کاهش رنگ آبی‌تیره فیکوسیانین شده و در مقایسه با فیکوسیانین خالص از مقبولیت کمتری برخوردار بوده است. طعم بستنی در تیمارهای حاوی فیکوسیانین بهتر از تیمار شاهد بوده است. به لحاظ نرم‌ترشدن بافت بستنی در تیمارهای حاوی فیکوسیانین نانو ریزپوشانی شده، این تیمار از نظر پارامتر سفتی، بیشترین امتیاز را بخود اختصاص داده و با سایر تیمارها دارای اختلاف معنی‌دار بوده است. شدت کریستالی، همچنین شدت صمغیت و سردی بستنی در تیمارهای حاوی فیکوسیانین کمتر از تیمار شاهد بوده و در نتیجه امتیازات کسب شده برای تیمارهای حاوی فیکوسیانین نانو ریزپوشانی شده و خالص بیشتر از تیمار شاهد بوده است. افزایش ویسکوزیته عامل اصلی بهبود پارامترهای حسی بستنی (طعم، کریستالی شدن، صمغیت، پوشش دهانی) شده [۳۳] که مشابه مطالعه حاضر بوده و نشان از کارآیی بالای فیکوسیانین نانو ریزپوشانی شده با کازئینات سدیم و مالتودکسترن در بهینه‌سازی خواص حسی بستنی دارد. در تحقیق ال زینی و همکاران (۲۰۱۶) از آب‌پنیر تغییض شده (نمونه شاهد و ۱ درصد) جهت ارزیابی تغییرات بافتی بستنی در زمان‌های صفر و ۱۴ روز استفاده شد و نتایج نشان داد که تغییرات بافتی شامل سختی، چسبندگی، صمغیت و جویدن در نمونه‌های شاهد و حاوی آب‌پنیر بعد از ۱۴ روز، بجز چسبندگی، افزایش داشته اما روند تغییرات در نمونه حاوی آب‌پنیر، کمتر بوده و در نتیجه محصول تولید شده از مقبولیت بیشتری برخوردار می‌باشد [۴۱]. در تحقیق حاضر نیز به لحاظ استفاده از پوشش‌های سازگار با فرمولاسیون بستنی (مالتودکسترن و کازئینات سدیم)، محصول تولید شده از نظر حسی بهتر از نمونه شاهد بود و بیشتر مورد توجه قرار گرفت. در تیمار حاوی

مواد به عنوان مواد محافظ سرما عمل می‌کنند [۲۴]. پوشش‌های مورد استفاده در این مطالعه طبق مکانسیم فوق و با افزایش ویسکوزیته، باعث کاهش سفتی بستنی شده و از رشد کریستال‌های یخ جلوگیری می‌کنند. میلانی و کوچکی (۲۰۱۱) در بررسی تأثیر گوار بر بافت ماست منجمد به این نتیجه رسیدند که استفاده از گوار در فرمولاسیون ماست منجمد با افزایش غلظت فاز غیر منجمد باعث کاهش سفتی بافت بستنی می‌شود [۳۹].

بیشترین و کمترین درصد ذوب بستنی مشاهده شده در این تحقیق مربوط به تیمار شاهد و فیکوسیانین نانو ریزپوشانی شده به ترتیب با ۷۶/۴۵ درصد و ۷۲/۲۸ درصد بوده است. با اضافه نمودن فیکوسیانین و پوشش‌های مالتودکسترن و کازئینات سدیم، درصد ذوب بستنی به طور معنی‌داری کاهش داشته است. مقدار ذوب بستنی تأثیر بسزایی بر ویژگی‌های حسی بستنی خواهد داشت [۳۹]. تغییرات این فاکتور، به نوع و مقدار ماده پایدارکننده بستگی دارد. به طور کلی، سرعت ذوب شدن بستنی تحت تأثیر فاکتورهای متعددی مانند مقدار هوای وارد شده، طبیعت کریستال‌های یخ و نیز شبکه گلbul چربی است که حین انجماد شکل می‌گیرد [۲۲].

طی ذوب شدن، حرارت محیط تدریجاً از قسمت خارجی به قسمت داخلی بستنی نفوذ کرده و موجب ذوب شدن کریستال‌های یخ می‌شود. آب حاصل از ذوب کریستال‌های پایدارکننده‌ها با ایجاد ویسکوزیته، موجب کاهش حرکت مولکول‌های آب و حرکت آزادانه آن‌ها میان مولکول‌های مخلوط می‌شوند و بدین ترتیب باعث بهبود مقاومت به ذوب بستنی می‌شوند. به علاوه، گفته می‌شود که یکی از مهم‌ترین عوامل موثر بر کاهش مقاومت به ذوب بستنی، نایپایداری فاز چربی آن می‌باشد [۴۰]. به نظر می‌رسد یکی از عوامل موثر در کاهش مقدار ذوب بستنی در تیمار حاوی فیکوسیانین نانو ریزپوشانی شده در مطالعه حاضر، توان امولسیفایری بین فیکوسیانین و کازئینات سدیم با چربی موجود در شیر بوده که باعث مقاومت در برابر ذوب شدن می‌گردد. میلانی و کوچکی (۲۰۱۱) در تحقیق خود به این نتیجه رسیدند که افزودن صمغ گوار به ماست منجمد باعث کاهش سرعت ذوب ماست منجمد می‌شود [۳۹]. سوکولیس و همکاران (۲۰۰۸) در بررسی تأثیر صمغ‌های زانتان، گوار، سدیم آژینات و CMC اعلام

خواص کیفی و حسی محصول شد، می‌توان از این رنگدانه بخصوص به فرم نانو (به دلیل پایداری در شرایط مختلف) در تولید نوشیدنی، ژله و بستنی به عنوان بهبوددهنده بافت و رنگدهنده بیولوژیک استفاده کرد.

۶- تشكير و قدردانی

محققین تحقیق حاضر بر خود لازم می‌دانند از دانشگاه علوم کشاورزی و منابع طبیعی ساری و همچنین پژوهشکده اکولوژی دریای خزر جهت حمایت مالی و در اختیار نهادن تجهیزات تخصصی تقدیر و تشکر به عمل آورند.

۷- منابع

- [1] Rymbai, H., Sharma, R. R., and Srivastav, M. Bio-colorants and its implications in health and food industry—a review. International Journal of Pharmacological Research, 2011; 3(4): 2228-2244.
- [2] Nuhu, A. A. Spirulina (*Arthrospira*): An important source of nutritional and medicinal compounds. Journal of Marine biology, 2013.
- [3] Nagpal, N., Munjal, N., and Chatterjee, S. Microbial pigments with health benefits-a mini review. Trend in Biosciences, 2011; 4: 157-160.
- [4] Nemoto-Kawamura, C., Hirahashi, T., Nagai, T., Yamada, H., Katoh, T., and Hayashi, O. Phycocyanin enhances secretory IgA antibody response and suppresses allergic IgE antibody response in mice immunized with antigen-entrapped biodegradable microparticles. Journal of nutritional science and vitaminology, 2004; 50(2): 129-136.
- [5] Romay, C. H., Gonzalez, R., Ledon, N., Remirez, D., and Rimbau, V. C-phycocyanin: a biliprotein with antioxidant, anti-inflammatory and neuroprotective effects. Current protein and peptide science, 2003; 4(3): 207-216.
- [6] Sonani, R. R., Singh, N. K., Kumar, J., Thakar, D., and Madamwar, D. Concurrent purification and antioxidant activity of phycobiliproteins from *Lyngbya* sp. A09DM: An antioxidant and anti-aging potential of phycoerythrin in *Caenorhabditis elegans*. Process Biochemistry, 2015; 49(10): 1757-1766.

فیکوسیانین خالص، بیشترین تغییرات در رنگ محصول بوده و سایر تغییرات چندان مشهود نمی‌باشد.

در مطالعه پاندیان و همکاران (۲۰۱۲) از آب پنیر با غلظت ۰/۴۶ درصد استفاده شد و نتایج نشان داد که تیمار دارای آب پنیر باعث بهینه‌نمودن کیفیت بستنی می‌شود [۴۲] که با نتایج آزمایشات انجام شده در این تحقیق مطابقت دارد. در مطالعه سونوان و همباده (۲۰۱۴) از مالتودکسترین به عنوان جایگزین خامه (با مقادیر ۱۰، ۲۰، ۳۰ و ۴۰ درصد) جهت تهیه بستنی کم کالری استفاده شده و نتایج نشان داد که با افزایش غلظت مالتودکسترین، فاکتورهای حسی رنگ، بو، طعم و مزه در تیمارهای دارای مالتودکسترین بهتر از تیمار شاهد است و تیمار ۳۰ درصد، بهترین نتایج را نشان داد [۴۳]. نتایج مطالعه کومار و همکاران (۲۰۱۶) نشان داد که افزودن پوشش کازئینات سدیم حاوی نانوکپسولهای کورکومین (جزء رنگی زردچوبه) به بستنی، باعث بهبود طعم بستنی می‌شود [۱۹].

گوبی و همکاران (۲۰۱۶) گزارش کردند که به هنگام استفاده از بتاکاروتون ریزپوشانی شده در بستنی، تغییرات حسی در

بستنی فرمول شده از مقبولیت بیشتری نسبت به تیمار شاهد برخوردار است [۴۴]. در انتخاب مواد مورد استفاده به عنوان افزودنی یا جایگزین ماده دیگر، بایستی به غلظت، نوع ماده،

سازگاری آن با ماده غذایی پایه توجه کرد تا در ویژگی‌های

کیفی و حسی محصول نهایی تغییر نامطلوبی ایجاد نشود. در

۰/۰۲۵ درصد از مالتودکسترین، درصد کازئینات سدیم و ۱۰۰ میکروگرم فیکوسیانین استفاده

شد.

با در نظر گرفتن تمامی فاکتورهای مورد بررسی، تیمار حاوی فیکوسیانین خالص تغییرات معنی‌داری بر شاخص‌های کیفی و حسی بجز رنگ نداشته و تیمار حاوی فیکوسیانین نانو ریزپوشانی شده در زمان‌های مورد بررسی از مقبولیت قابل قبولی برخوردار بوده است. هر چند که فاکتور رنگ در تیمار حاوی فیکوسیانین خالص بهتر از سایر تیمارها گزارش شد.

۵- نتیجه‌گیری کلی

نانوریزپوشانی فیکوسیانین با استفاده از مالتودکسترین و کازئینات سدیم موجب کاهش معنی‌دار نرخ رهایش هسته در شرایط آزمایشگاهی مشابه شرایط دستگاه گوارش می‌شود. از آنجا که استفاده از هر دو فرم خالص و نانو ریزپوشانی شده فیکوسیانین در فرمولاسیون بستنی موجب ارتقا و بهبود

- [16] Murugan, T., and Rajesh, R. Cultivation of two species of *Spirulina* (*Spirulina platensis* and *Spirulina platensis* var lonar) on sea water medium and extraction of C-phycocyanin. European Journal of Experimental Biology, 2014; 4(2): 93-97.
- [17] Leema, J. M., Kirubagaran, R., Vinithkumar, N. V., Dheenan, P. S., and Karthikayulu, S. High value pigment production from *Arthrospira* (*Spirulina*) *platensis* cultured in seawater. Bioresource technology, 2010; 101(23): 9221-9227.
- [18] Patil, G., Chethana, S., Sridevi, A. S., and Raghavarao, K. S. M. S. Method to obtain C-phycocyanin of high purity. Journal of chromatography A, 2006; 1127(1-2): 76-81.
- [19] Kumar, D. D., Mann, B., Pothuraju, R., Sharma, R., and Bajaj, R. Formulation and characterization of nanoencapsulated curcumin using sodium caseinate and its incorporation in ice cream. Food & function, 2016; 7(1): 417-424.
- [20] Akalın, A. S., and Erişir, D. Effects of inulin and oligofructose on the rheological characteristics and probiotic culture survival in low-fat probiotic ice cream. Journal of food science, 2008; 73(4): M184-M188.
- [21] Mahdian, E., Karajian, R., and Sabri, S. The effect of milk fat replacement with inulin and milk protein concentrate on physicochemical and sensory properties of low fat ice cream. Journal of Innovation in Food Science and Technology, 2013; 5 (4): 21-29
- [22] Amiri, Z., and Ahmadi, M. The possibility of substitution of carboxy methyl cellulose and tragacanth gum on the physical and sensory properties of ice cream. Journal of Food Research, 2014; 24 (2): 279-290
- [23] Marshall R.T., and Arbuckle W.S. The science of Ice cream. 5thed. Torkashvand, Y. Eta. Tehran; 1996.
- [24] Soukoulis, C., Chandrinou, I., and Tzia, C. Study of the functionality of selected hydrocolloids and their blends with κ-carrageenan on storage quality of vanilla ice cream. LWT-Food Science and Technology, 2008; 41(10), 1816-1827.
- [25] Pon, S. Y., Lee, W. J., and Chong, G. H. Textural and rheological properties of stevia ice cream. International Food Research Journal, 2015; 22(4): 1544-1549.
- [26] Hettiarachchi, C. A., and Illeperuma, D. C. K. Developing a trained sensory panel for comparison of different brands of vanilla ice cream using descriptive sensory
- [7] Martelli, G., Folli, C., Visai, L., Daglia, M., and Ferrari, D. Thermal stability improvement of blue colorant C-Phycocyanin from *Spirulina platensis* for food industry applications. Process Biochemistry, 2014; 49(1), 154-159.
- [8] Jespersen, L., Strømdahl, L. D., Olsen, K., and Skibsted, L. H. Heat and light stability of three natural blue colorants for use in confectionery and beverages. European Food Research and Technology, 2005; 220(3), 261-266.
- [9] Yan, M., Liu, B., Jiao, X., and Qin, S. Preparation of phycocyanin microcapsules and its properties. Food and bioproducts processing, 2014; 92(1), 89-97.
- [10] Machado, A. R., Assis, L. M., Costa, J. A. V., Badiale-Furlong, E., Motta, A. S., Micheletto, Y. M. S., and Souza-Soares, L. A. Application of sonication and mixing for nanoencapsulation of the cyanobacterium *Spirulina platensis* in liposomes. International Food Research Journal, 2014; 21(6): 2201.
- [11] Nedovic, V., Kalusevic, A., Manojlovic, V., Levic, S., and Bugarski, B. An overview of encapsulation technologies for food applications. Procedia Food Science, 1, 2011; 1806-1815.
- [12] Salehifar, M., Shahbazizadeh, S., Khosravi, K., Bahmadi, H., and Ferdowsi, R. Possibility of using microalgae *Spirulina platensis* powder in industrial production of Iranian traditional cookies. Iranian Journal of Nutrition Sciences & Food Technology, 2013; 7 (4): 63-72
- [13] Agustini, T. W., Ma'ruf, W. F., & Wibowo, B. A. Study on the effect of different concentration of *Spirulina platensis* paste added into dried noodle to its quality characteristics. In IOP Conference Series: Earth and Environmental Science, 2017; (Vol. 55, No. 1, p. 012068). IOP Publishing.
- [14] Kamble, S. P., Gaikar, R. B., Padalia, R. B., and Shinde, K. D. Extraction and purification of C-phycocyanin from dry *Spirulina* powder and evaluating its antioxidant, anticoagulation and prevention of DNA damage activity. Journal of Applied Pharmaceutical Science, 2013; 3(8): 149-153
- [15] Prabakaran, P., and Ravindran, A. D. Efficacy of different extraction methods of phycocyanin from *Spirulina platensis*. International Journal of Research in Pharmacy and Life Sciences, 2013; 1(1): 15-20.

- Innovative Food Technologies, 2015; 5 (2): 59-70.
- [36] Bolliger, S., Wildmoser, H., Goff, H. D., and Tharp, B. W. Relationships between ice cream mix viscoelasticity and ice crystal growth in ice cream. International Dairy Journal, 2000; 10(11), 791-797.
- [37] Bahramparvar, M., Hadad, M., and Razavi, M. Effect of selected stabilizers on physicochemical and sensory properties of ice cream. Journal of Food Processing and Production, 2011; 1 (1): 4-14
- [38] Amiri, S., Alami, M., Rezai, R., Dadpour, M., and Khamiri, M. Effect of isfarzeh and basil seed mucilages on physicochemical rheological and sensory properties of ice cream. Journal of Research and Innovation in Food Science and Technology, 2012; 1 (1): 23-36
- [39] Milani, E., and Koocheki, A. The effects of date syrup and guar gum on physical, rheological and sensory properties of low fat frozen yoghurt dessert. International Journal of Dairy Technology, 2011; 64(1): 121-129.
- [40] Muse, M. R., and Hartel, R. W. Ice cream structural elements that affect melting rate and hardness. Journal of dairy science, 2004; 87(1): 1-10.
- [41] El-Zeini, H. M., El-Abd, M. M., Mostafa, A. Z., and El-Ghany, F. H. Y. Effect of incorporating whey protein concentrate on chemical, rheological and textural properties of ice cream. Journal of Food Processing and Technology, 2016; 7(2): 1-7
- [42] Pandiyan, C., Villi, R. A., Kumaresan, G., and Elango, G. R. A. Effect of incorporation of whey protein concentrate on quality of ice cream. Tamilnadu Journal of Veterinary and Animal Sciences, 2012; 8(4), 189-193 .
- [43] Sonwane, R. S., and Hembade, A. S. Sensorial quality of dietetic soft serve ice cream prepared by using different proportions of maltodextrin. International Journal of Current Research and Academic Review, 2014; 2(6): 51-55 .
- [44] Gobbi J., Carvalho T. and Cristina, S. Characterization and evaluation of sensory acceptability of ice creams incorporated with beta-carotene encapsulated in solid lipid microparticles, Food Science and Technology, 2016; 36(4): 664-671.
- analysis. Journal of the National Science Foundation of Sri Lanka, 2015; 43(1): 45-55.
- [27] Saranraj, P., and Sivasakthi, S. Spirulina platensis-food for future: a review. Asian Journal of Pharmaceutical Science and Technology, 2014; 4(1), 26-33.
- [28] Dewi, E. N., Purnamayati, L., and Kurniasih, R. A. Antioxidant activities of phycocyanin microcapsules using maltodextrin and carrageenan as coating materials. Jurnal Teknologi, 2016; 78(4): 45–50.
- [29] Dewi, E. N., Purnamayati, L., and Kurniasih, R. A. Physical characteristics of phycocyanin from spirulina microcapsules using different coating materials with freeze drying method. In IOP Conference Series: Earth and Environmental Science (Vol. 55, No. 1, p. 012060), 2017; IOP Publishing.
- [30] Holkem, A. T., Raddatz, G. C., Nunes, G. L., Cichoski, A. J., Jacob-Lopes, E., Grossi, C. R. F., and de Menezes, C. R. Development and characterization of alginate microcapsules containing Bifidobacterium BB-12 produced by emulsification/internal gelation followed by freeze drying. LWT-Food Science and Technology, 2016; 71: 302-308.
- [31] Suzery, M., Majid, D., Setyawan, D., and Sutanto, H. Improvement of stability and antioxidant activities by using phycocyanin-chitosan encapsulation technique. In IOP Conference Series: Earth and Environmental Science (Vol. 55, No. 1, p. 012052), 2017; IOP Publishing.
- [32] Rasouli, F., Berenji, sh., and Shahab, A. Optimization of traditional Iranian ice cream formulation containing spirulina microalgae using response surface methodology, Journal of Food Technology and Nutrition, 2017; 4 (3): 18-28
- [33] Kerdchouay, P., and Surapat, S. Effect of skimmed milk substitution by whey protein concentrate in low-fat coconut milk ice cream. Journal of Food Process Technology, 2012; 16(2): 25-34.
- [34] Gohari, A., Habibi, M., and Hadad, M. Effect of date syrup as a substitute for sugar on the physicochemical and sensory properties of soft ice cream. Iranian Food Science and Technology Research Journal, 2005; 1 (2): 23-32
- [35] Eslami, A., Fadai, V., Khosravi, K., and Mazinani, S. The effect of powdered Spirulina platensis biomass on some physicochemical and sensory properties of probiotic doogh containing powdered mint.



Nanoencapsulation of phycocyanin extracted from the alga Spirulina (*Spirulina platensis*) and use of resulting nanoparticles in ice cream formulation

Safari, R. ^{1*}, Raftani Amiri, Z. ², Reyhani Poul, S. ³, Ghaffari, H. ⁴

1. Assistant professor, Caspian Sea Ecology Research Institute, Fisheries Science Research Institute, Agricultural Research Education and Extension Organization, Sari, Iran.
2. Professor, Department of Food Science and Technology, Sari Agricultural Sciences and Natural Resources University, Sari, Iran.
3. PhD Graduate, Department of Processing of Fishery Products, Faculty of Fisheries and Environment, Gorgan University of Agricultural Sciences and Natural Resources, Gorgan, Iran.
4. Assistant professor, Fisheries Science Research Institute, Agricultural Research Education and Extension Organization, Tehran, Iran.

ARTICLE INFO

ABSTRACT

Article History:

Received 2021/12/09
Accepted 2022/01/15

Keywords:

Spirulina,
Phycocyanin,
Nanoencapsulation,
Ice cream,
Quality and sensory properties

DOI: [10.52547/fsct.19.123.145](https://doi.org/10.52547/fsct.19.123.145)

DOR: [20.1001.1.20088787.1401.19.123.24.9](https://doi.org/10.1001.1.20088787.1401.19.123.24.9)

*Corresponding Author E-Mail:
Safari1351@gmail.com

Due to the concerns about the use of artificial colors in various foods, it is necessary to pay attention to sources with natural colors. One of these sources is the algae Spirulina, which contains the blue pigment phycocyanin. The aim of the present study in the first stage was to extract this pigment from the algae by enzymatic method (lysozyme) and its nanoencapsulation. In the second stage, the physicochemical properties of nanoparticles were investigated. Finally, phycocyanin in both free and nano forms was added to the ice cream formulation and the qualitative and sensory properties of the product were evaluated in comparison with the control. The results showed that the produced nanoparticles have an average size of 397.1 nm. The encapsulation efficiency of the process was recorded $73.41 \pm 2.11\%$. According to the images recorded using scanning electron microscopy, the nanoparticle with different dimensions are scattered in the microscopic spread so that the particles are visible in different sizes (diameter 51.4 to 221/2 nm). The release results of nanoparticles in vitro showed that at pH=1.2, the release percentage of phycocyanin is low (the first 2 hours). So that it fluctuates in the range of 7 to 13%. But after this stage (pH=7.4), the release rate increased significantly (second 4 hours) and from 35 to 71% at 3 and 4 hours, respectively. The use of pure phycocyanin in ice cream formulation improved the hardness, melting percentage, texture, hardness, crystalline intensity and coldness. But these indices were reported at a more favorable level in the treatment formulated with nanoencapsulated phycocyanin. The color index in ice cream formulated with pure phycocyanin was more desirable and more acceptable compared to the treatment with nanoencapsulated phycocyanin. Due to the properties of phycocyanin, especially the nanoencapsulated form, it can be used as a biological dye and improve the quality and sensory properties in various ice creams.